

ГЛАВА 6 ИССЛЕДОВАНИЕ ГЕОФИЗИЧЕСКИХ МАТЕРИАЛОВ ПРИ ВЫСОКИХ ДАВЛЕНИЯХ

«Бриллианты гладким образом работали в физике, но он отдавал себе ясный отчет в том, что его работы потенциально применимы и к геологии, и к геофизике. Он опубликовал ряд работ, посвященных изучению свойств горных пород и минералов, первая из них вышла в свет в 1918 г. Пророческое утверждение поплыло в его работе 1936 г. «Большое число полиморфных превращений, наблюдавшихся при высоких давлениях, существенно для геологии, поскольку они не ограничиваются лишь тонкими частями земной коры, которые находятся в кристаллическом состоянии...» Далее в этой же работе он замечает: «Геология в своем развитии быстро приближается к такому положению, когда она не сможет больше уходить в сторону от решения основной проблемы, стоящей перед ней,— определить реальное физическое и химическое поведение тех материалов, из которых в действительности состоит земная кора».

«Замечания к статье В. Н. Каюрова, и В. А. Магнитного «Эволюция геофизики».

Непосредственное проникновение в пещера Земли затруднено. В таком случае возникает естественная идея попытаться изучить недра Земли, моделируя их в лабораторных условиях. Земля является естественной лабораторией высоких давлений. Давление в центре Земли равно примерно 3,5 млн. атм¹⁾, а температуры достигают 6000 °С. Этими цифрами, собственно, и определяется тот диапазон давлений и температур, в котором следует проводить моделирование. Динамические методы, использующие для сгущения молниевые волны, покрывают весь диапазон геофизических давлений и температур. При динамических сжатиях эксперимент длится доли микросекунд, но современная аппаратура позволяет выполнить все необходимые

¹⁾) Напомним связь между различными единицами измерения давления: 1 бар = 10^6 дин/см² = $1,01972 \text{ кг}/\text{см}^2 = 0,986324 \text{ атм}$. В физике высоких давлений обыч но используют килобары (1 кбар = 10^3 бар) и мегабары (1 Мбар = 10^6 бар).

мые измерения. Накопление экспериментальной информации о поведении геофизических материалов при высоких давлениях и температурах позволило приступить к физической интерпретации состояния и состава вещества земных недр.

Прежде чем излагать результаты лабораторных экспериментов, скажем несколько слов о геофизических материалах.

6.1. ГЕОФИЗИЧЕСКИЕ МАТЕРИАЛЫ

Название важнейших силикатов и их механические параметры при нормальных условиях даны в табл. 2.

Главным структурным элементом силикатов является кремнекислородный тетраэдр, в центре которого расположены ион Si^{+4} , а в вершинах — ионы O^{+2} . Способы соединения тетраэдров могут быть следующими: 1) каждый ион кислорода является общим для двух тетраэдров, в результате чего получается структура, характерная для минералов группы кварца SiO_2 ; 2) через ионы кислорода тетраэдры связываются с катионами металлов («островные» силикаты); структурой такого типа обладают некоторые ортосиликаты; 3) третий способ может быть представлен в виде комбинации первых двух. Все силикаты можно себе представить, как состоящие из шарообразных ионов, каждого из которых характеризуется своим значением ионного радиуса. Ионные радиусы измеряются в ангстремах, $1\text{\AA} = 10^{-8} \text{ см.}$

Основной объем в силикатах заполняют крупные анионы кислорода O^{-2} ($r_{\text{O}^{-2}} = 1,36\text{\AA}$). Ионные радиусы основных катионов (Si^{+4} , Mg^{+2} , Fe^{+2} , Fe^{+3} , Al^{+3} , Ca^{+2} , Na^{+1} , K^{+1}) меньше (соответственно 0,39; 0,74; 0,80; 0,67; 0,54; 1,04; 0,98; 1,33). Методами рентгеноструктурного анализа было установлено, что расстояние между ионами кислорода в тетраэдре составляет $2,6\text{\AA}$, а между ионами кислорода и кремния примерно $1,6\text{\AA}$. Ионы кислорода, принадлежащие разным тетраэдрам, находятся друг от друга на расстоянии $2,8-2,9\text{\AA}$. Приведенные цифры таковы, что структуру силикатов можно рассматривать с точки зрения теории плотнейшей упаковки шаров. Накладывая определенным образом плоские слои шаров, прилегающие плотнейшим образом друг к другу, можно получить два типа

Таблица 2

Физические параметры важнейших силикатов при нормальных условиях

Название минерала	Формула	Плотность, $\text{г}/\text{см}^3$	Жесткость, $10^{12} \text{ дин}/\text{см}^2$	Модуль сжатия, $10^{12} \text{ дин}/\text{см}^2$	v_P , $\text{км}/\text{сек}$	v_S , $\text{км}/\text{сек}$	$\Phi = K/\rho$, $\text{км}^2/\text{сек}$
Кварц	SiO_2	2,648 2,92 4,28	0,443 0,513 1,32	0,377 0,972 3,43	6,05 7,53 11,0	4,09 4,19 5,55	14,2 33,3 80
Коэсит							
Стишовит							
Оlivин	$(\text{Mg}, \text{Fe})_2 \text{SiO}_4$	3,3-3,5					
Форстерит	$\text{Mg}_2 \text{SiO}_4$	3,214	0,811	1,286	8,569	5,015	40
Оlivин	$\text{Mg}_{1,8} \text{Fe}_{0,2} \text{SiO}_4$	3,34	0,838	1,27	8,45	5,01	38
Оlivин	$\text{Mg}_{1,0} \text{Fe}_{1,0} \text{SiO}_4$	3,82	0,726	1,27	7,66	4,36	33
Оlivин	$\text{Mg}_{0,4} \text{Fe}_{1,6} \text{SiO}_4$	4,17	0,524	1,37	7,26	3,66	33
Фаялит	$\text{Fe}_2 \text{SiO}_4$	4,39	0,510	1,32	6,75	3,41	30
Шпинель	$\text{Fe}_2 \text{SiO}_4$	4,85	0,814	2,05	8,05	4,10	42
Гранаты	$(\text{Ca}, \text{Mg}, \text{Fe}^{+2}, \text{Mn})_3$	3,2-4,3	0,936	1,5-1,8	8,7	4,8	40-45
Диопсид	$(\text{Al}, \text{Fe}^{+3}, \text{Cr})_2 (\text{SiO}_4)_3$	3,2-3,4	0,623	0,91-1,11	7,73	4,40	28
Авгит	$\text{CaMg}(\text{SiO}_3)_2$	3,2-3,6	0,556	0,93	7,73	4,40	29
Жадеит	$\text{Ca}(\text{Mg}, \text{Fe}, \text{Al})(\text{Si}, \text{Al})\text{O}_3\text{I}_2$	3,3-3,5		1,28	7,33	4,28	39
Энстатит	MgSiO_3	3,2	0,797	1,212	8,36	4,99	38
Гиперстен (бронзитит)	$\text{Mg}_{0,85} \text{Fe}_{0,15} \text{SiO}_3$	3,34	0,757	1,049	7,85	4,76	31,5
Гиперстен	$\text{Mg}_{0,7} \text{Fe}_{0,3} \text{SiO}_3$	3,44	0,725	1,073	7,70	4,59	31
Ферросиллит	FeSiO_3	3,98	0,551	1,161	6,90	3,72	29

плотно упакованных структур — гексагональную и кубическую, которые отличаются своей симметрией. В плотно упакованной структуре шары, ее заполняющие, занимают три четверти пространства. Между шарами имеется два типа пустот. Одни окружены четырьмя шарами и имеют, следовательно, координационное число 4, а другие расположены между шестью шарами и имеют координационное число 6. Указанные пустоты в силикатах соответственно называются тетрагаэдрическими и октаэдрическими.

В силикатах на и кислородных анионов, уложенных плотнейшим образом, приходится $\frac{1}{2}n$ тетраэдрических, т. е. на один анион O^{-2} приходятся одна октаэдрическая и две тетраэдрические ячейки, которые частично заполняются катионами. Соответственно силикаты можно рассматривать как структуры, заполненные кремнекислородными тетраэдрами, или же как структуры, заполненные кислородными октаэдрами, в центре которых расположены тот или иной металлический катион¹⁾.

Горные породы представляют собой агрегаты минералов, и именно с ними мы обычно встречаемся в естественных условиях. Свойства породы определяются в основном ее породообразующими минералами. По генетическому признаку различают магматические (или изверженные) породы, осадочные и метаморфические.

Осадочные и метаморфические породы имеют вторичное происхождение. Первые образуются на поверхности Земли в результате разнообразных процессов, которые в наружных слоях путем перекристаллизации других пород. При застывании расплава внутри земной коры образуются интрузивные породы, а при застывании расплава на поверхности — эфузивные (излившиеся). Последние имеют обычно плохо различимую кристаллическую структуру, либо являются аморфными телами.

По содержанию главного окисла SiO_2 изверженные породы делятся на четыре группы: кислые, содержащие 65—75% SiO_2 , средние — 52—65%; основные — 52—40% и ultraосновные — 40—35%. Средний химический состав вакономерно изменяется от кислых до ultraосновных

пород. С переходом к ultraосновным породам резко падает содержание окислов легких металлов и возрастает доля тяжелых железо-магнезиальных окислов. Соответственно увеличиваются плотность и модули упругости горных пород.

Согласно современным представлениям первичная неодифференцированная оболочка Земли состояла из пиролитита — ультоновой пироксено-оливиновой породы. Состав пиролита был рассчитан Рингвудом в предположении, что

Таблица 3

SiO_2	45,10	CaO	3,08	CoO	0,01
MgO	37,47	Na_2O	0,57	TiO_2	0,71
FeO	8,04	K_2O	0,13	MnO	0,14
Fe_2O_3	0,46	Cr_2O_3	0,43	P_2O_5	0,06
Al_2O_3	3,54	NiO	0,20		100,00

при фракционном плавлении он дает базальтовую магму, которая совместно с нерасплавленной фракцией эквиалентна нормальному луниту или альбийскому перидотиту. В пропорции отношение базальт/перидотит равно примерно 1/3 (табл. 3).

6.2. СТАТИЧЕСКИЕ ИССЛЕДОВАНИЯ

Земная кора сложена из гранитов и базальтов, т. е. кислых и основных пород. Полковорные породы и вся оболочка Земли состоят из ultraосновных пород.

Петрохимические исследования при высоких давлениях и температурах показали, что в верхней мантии до глубин 350—400 км вещества пиролитового состава (см. табл. 3) должно кристаллизоваться в форме минеральной ассоциации, содержащей оливин, пироксены и гранат. В интервале глубин ~ 150—400 км устойчивая минеральная ассоциация пиролитового состава состоит из следующих минералов:

	Всё в %
Оливин $(Mg, Fe)_2SiO_4$	57
Ортопироксен $(Mg, Fe)SiO_3$	17
Омфацитовый клинопироксен $(Ca, Mg, Fe)_2Si_2O_6 \cdot NaAlSi_2O_6$	12
Пироп $(Mg, Fe, Ca)_3(Al, Cr)Si_3O_12$	14

В этих минералах кремний находится в четверной координации, а магний, железо и кальций в шестерной и восьми.

¹⁾ Структурам силикатов посвящены специальные книги: Грегг У. Л., Кларк и Булл Г. Ф. Кристаллическая структура минералов.—М.: Мир, 1967; Белоев Н. В. Очерки по структурной минералогии.—М.: Недра, 1976; Бокий Г. Е. Кристаллография.—М.: Наука, 1971.

мерной. Молекулярное отношение $\text{Fe}/(\text{Fe} + \text{Mg})$ в пиролите составляет 11%. Главным минералом, входящим в ультраосновные породы, являются оливины $(\text{Mg}, \text{Fe})_2\text{SiO}_4$. Оливиновая гипотеза о составе оболочки Земли получила широкое распространение еще до второй мировой войны. На основе этой гипотезы были сделаны новые важные предположения. В 1936 г. английский физик Джон Бернхэм предположил, что с ростом давления обычные оливины должны испытывать полиморфный переход и принимать структуру шпинели. В структуре шпинели ионы кислорода O^{2-} , так же как и в оливинах, образуют плотнейшую упаковку, но только не гексагональную, а кубическую гранецентрированную. В результате плотность шпинелевой модификации возрастает на $\sim 11\%$ по отношению к плотности оливиновой модификации.

Гипотеза оливин-шпинелевого перехода была затем использована рядом геофизиков для объяснения зоны больших градиентов скоростей сейсмических волн на глубинах 350—1000 км в переходной зоне С оболочки Земли (см. рис. 2). Однако долгое время получать оливин-шпинелевый переход в лаборатории не удавалось. Впервые этот переход был обнаружен в 1958 г. австралийским геохимиком и геофизиком А. Э. Рингвудом, который получил шпинелевую полиморфную модификацию фаялита Fe_2SiO_4 — крайнего члена оливинового ряда $(\text{Mg}, \text{Fe})_2\text{SiO}_4$. В реальных земных ультраосновных горных породах концентрация ионов Mg^{+2} и Fe^{+2} в оливинах лежит в пределах 80—90% и 20—10% соответственно. Однако попытки обнаружить оливин-шпинелевый переход у магнезиального края $(\text{Mg}, \text{Fe})_2\text{SiO}_4$ долгое время не удавались. На решение этой задачи ушло 10 лет интенсивной работы. Тем временем были сделаны крупные открытия при исследовании кремнезема в статических установках высокого давления. В 1953 г. американский физик Л. Коэс синтезировал первую высокоплотную модификацию кварца — коэсит при давлениях, равных примерно 30 кбар, и температуре $\sim 1000^\circ\text{C}$. Плотность коэсита в метастабильном состоянии при нормальных условиях оказалась равной $\sim 2,92 \text{ g/cm}^3$, т. е. на $0,28 \text{ g/cm}^3$ большее плотности обычного кварца. В коэсите ионы кремния Si^{+4} , так же как и в обычном кварце, находятся в четвертой координации с ионами кислорода и все отличие состоит в более тесном расположении ионов силикатного тетраэдра.

В 1961 г. молодые советские учёные С. М. Стипов и С. В. Попова в лаборатории академика Л. Ф. Верещагина синтезировали вторую высокоплотную модификацию кварца. Плотность этой модификации в метастабильном состоянии при нормальных условиях равна $4,28 \text{ g/cm}^3$; она получила специальное название «стиловит». Стиловит был синтезирован при давлениях около $1,5 \cdot 10^5 \text{ бар}$ и температурах $1200-1400^\circ\text{C}$. В структуре стилювита (структура типа руттила TiO_2) ионы кремния находятся в октаэдрических пустотах плотной упаковки кислородных ионов, и каждый ион кислорода окружён тремя ионами кремния, расположеннымными примерно в вершинах правильного треугольника. Синтез стилювита явился одним из крупнейших достижений геофизики начала шестидесятых годов. Он показал, что основной структурный принцип физической химии силикатов — четверная координация атомов кремния по отношению к кислороду — при высоких давлениях оказывается несправедливым. При высоких давлениях ионы кремния Si^{+4} находятся в шестерной координации по отношению к ионам кислорода O^{2-} .

Тем временем в результате острого соперничества между австралийцами Рингвудом и Майором и японскими специалистами по высоким давлениям во главе с С. Акимото быстро продвигалась вперед проблема изучения системы $\text{Mg}_2\text{SiO}_4 - \text{Fe}_2\text{SiO}_4$. В этом соревновании австралийцышли все время несколько впереди, опережая конкурентов буквально на месяцы, а японские физики получали более чистые и качественные результаты. Впервые полная фазовая диаграмма системы $\text{Mg}_2\text{SiO}_4 - \text{Fe}_2\text{SiO}_4$ была продемонстрирована Рингвудом и Майором на симпозиуме в Канберре (Австралия) в январе 1969 г. Эта диаграмма, по данным С. Акимото с сотрудниками, показана на рис. 19.

Наличие β -фазы на рассматриваемой диаграмме явилось сенсацией. Замечательной особенностью системы $\text{Mg}_2\text{SiO}_4 - \text{Fe}_2\text{SiO}_4$ является то, что после стабильности β -фазы быстро расширяется с ростом температуры. Влияние температуры на фазовую диаграмму легко определить из графика двух совмещенных сечений. Центральную часть диаграммы занимает область твердого оливин-шпинелевого раствора ($\alpha + \gamma$). Эта область имеет вид сигары. Если бы не существовало β -фазы, то эта сигара продолжалась бы справа налево до пересечения с осью давле-

ний. Концентрация магния в реальных оливинах оболочки Земли составляет 80% и больше. Дальнейшее обсуждение этой диаграммы дано в § 7.3. Там будет выяснено, что температуры на глубинах ~ 400 км равны 1500—1600 °С. В результате на этих глубинах должен происходить фазовый переход «оливин-модифицированная шпинель» ($\alpha \rightarrow \beta$), а не «оливин-шпинель» ($\alpha \rightarrow \gamma$), как

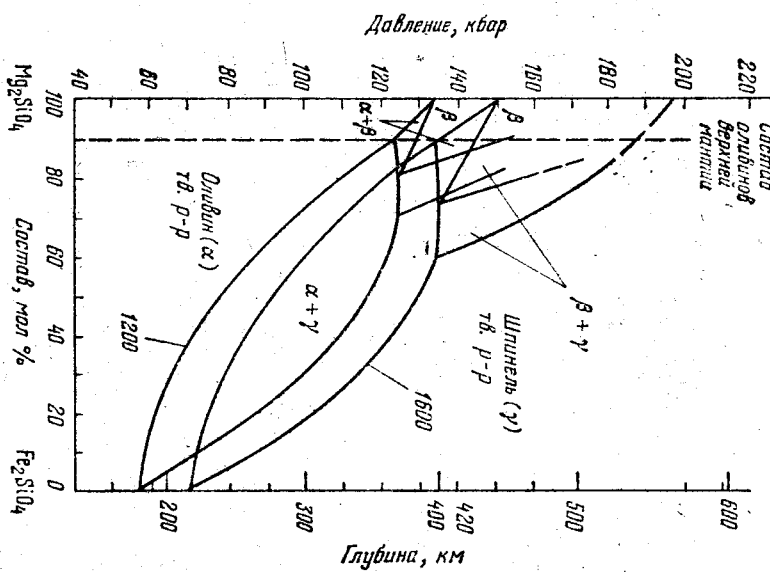


Рис. 19. Фазовая диаграмма системы $Mg_2SiO_4 - FeSiO_4$. Показано для смешанных изотермических сечений при 1200 и 1600 °С. Сечения получены путем экстраполяции экспериментально полученных сечений при 800, 1000 и 1200 °С. По оси абсцисс отложен состав в мольных процентах, по оси ординат — давление в килобарах (справа) и соответствующие глубины в недрах Земли (слева). α — оливиновая фаза, γ — шпинелевая фаза, β — фаза модифицированной шпинели.

предполагал Берналл. Так мы приходим к модифицированной гипотезе Берналла. Образцы шпинели (γ -фазы) и модифицированной шпинели (β -фазы) удается сохра-

нить в метастабильном состоянии при нормальных условиях. Это позволило определить возрастание плотности при фазовых переходах $\alpha \rightarrow \beta$ и $\alpha \rightarrow \gamma$. Оказалось, что при $\alpha \rightarrow Mg_2SiO_4 \rightarrow \beta$, плотность возрастает на 7,9%, а при $\alpha \rightarrow Mg_2SiO_4 \rightarrow \gamma$, плотность возрастает на 10,8%. Последняя цифра получена путем экстраполяции, так как вблизи магнезиального края на фазовой диаграмме (см. рис. 19) γ -фаза не существует.

Основной объем в оливинах занимают большие кислотные ионы, образующие структуру, близкую к гексагональной плотнейшей упаковке. В оливиновой фазе ионы кремния Si^{+4} расположены в тетраэдрической координации, так что примыкающие к ним ионы кислорода O^{-2} образуют тетраэдры. Координационное число двухвалентных ионов металлов M^{+2} равно шести, так что примыкающие к ним ионы кислорода образуют октаэдры. При переходе в шпинелевую фазу или фазу модифицированной шпинели кислородные ионы перестраиваются, образуя структуры, близкие к кубической гранецентрированной плотнейшей упаковке. Если в оливиновой структуре октаэдры образуют одномерные цепи, то в структуре модифицированной шпинели они образуют двумерные цепи октаэдров, а в шпинелевой фазе октаэдры соединены в трехмерные цепи. Интересной особенностью переходов $\alpha \rightarrow \beta$ и $\alpha \rightarrow \gamma$ является также то, что при них ионы кремния Si^{+4} и металла M^{+2} сохраняют свое координационное число. Это отличает переходы $\alpha \rightarrow \beta$ и $\alpha \rightarrow \gamma$ от соответствующих фазовых переходов в ионных кристаллах при высоких давлениях, при которых координационное число катионов возрастает. Большой скачок плотности при переходах $\alpha \rightarrow \beta$ и $\alpha \rightarrow \gamma$ ($\sim 10\%$) в известном смысле случаен и связан с аномально низкой плотностью оливиновой структуры. Наглядно это видно при сравнении плотности форстерита ($\rho_{Mg,SiO_4} = 3,21 \text{ g/cm}^3$) с плотностью энстатита ($\rho_{Mg,SiO_4} = 3,20 \text{ g/cm}^3$), которые совпадают, несмотря на большее отношение металлы/кислород в Mg_2SiO_4 .

При изучении переходов $\alpha \rightarrow \beta$ и $\alpha \rightarrow \gamma$ приколо используются модельные вещества, такие как германаты и силикаты, с другими двухвалентными ионами. Эти исследованием применили к обнаружению важных различий в поведении веществ, содержащих и не содержащих двухвалентные ионы переходных металлов (Fe, Co, Ni). Если исключить из рассмотрения переходные металлы, то в

силикатах и германатах с общей формулой $A_2B^{+4}O_4$ тип структуры определяется значением отношения ионных радиусов r_A/r_B . На рис. 20 видно, что давление перехода является приблизительно линейной функцией отношения r_A/r_B . Качественное объяснение выпадения из этой

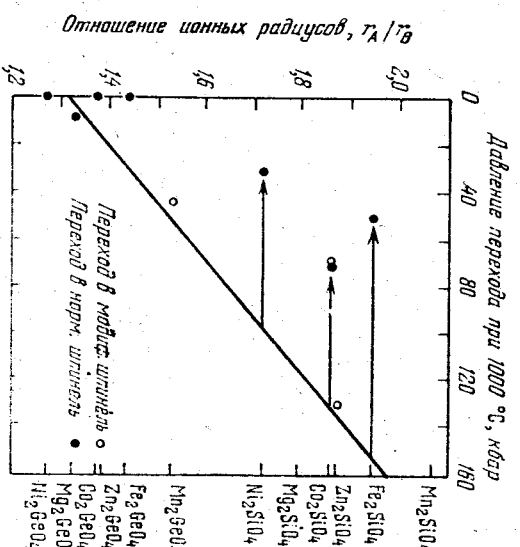
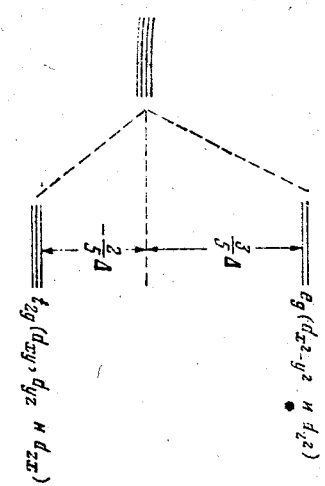


Рис. 20. Давление перехода $\alpha \rightarrow \gamma$ и $\alpha \rightarrow \beta$ при 1000 °C как функция отношения ионных радиусов в силикатах и германатах. Стабилизирующее влияние эффекта кристаллического поля на шпинелевую структуру (γ) по сравнению с оливиновой структурой (α) проявляется в заметном увеличении давления перехода соединений из переходных металлов «Леффт» давления перехода показан статисткой. При нормальных условиях Zn_2SiO_4 существует в структуре фенакита (α , не оливиновая). Соответственно давление перехода Zn_2SiO_4 в β -фазу из структуры фенакита (авторы С. Акимото, Я. Масудзи и Я. Сэно).

закономерности соединений Fe, Co, Ni было предложено Я. Сёно с сотрудниками. Эффект стабилизации кристаллическим полем силикатов, содержащих двухвалентные ионы переходных металлов, заключается в следующем. При помещении двухвалентного иона переходного металла в заряженную октаэдрическую ячейку (например, образованную ионами O^{2-}), пятикратно вырожденные $3d$ уровни (3d-орбитали) этих ионов расщепляются на две группы: e_g -уровни, состоящие из орбиталей $d_{x^2-y^2}$ и d_{z^2} , и t_{2g} -уровни, состоящие из трех орбиталей (d_{xy} , d_{yz} и d_{zx}). Изменение спектра иона показано на рис. 21. Каждый из

Рис. 21. Расщепление d -уровней электронного спектра двухвалентных ионов переходных металлов (Fe^{+2} , Ni^{+2} , Co^{+2}) в октаэдрическом кристаллическом поле силиката. Величина расщепления Δ может быть определена по спектроскопическим данным.



В этом и заключается стабилизирующий эффект кристаллического поля

Оказывается, что стабилизирующее действие кристаллического поля примерно одинаково в β - и γ -фазах, как это видно на примере Co_2SiO_4 (см. рис. 20), и заметно больше стабилизирующего эффекта кристаллического поля в оливинах (α -фаза). Из рис. 20 следует, что эффект уменьшается при переходе от Fe^{+2} к Ni^{+2} и к Co^{+2} . Изучение спектров поглощения позволило оценить превышение энергии стабилизации кристаллическим полем для YFe_2SiO_4 по сравнению с αFe_2SiO_4 . Эта энергия оказалась равной 249,3 кбар·см³/моль, что соответствует понижению давления перехода $\alpha \rightarrow \gamma$ для Fe_2SiO_4 , равному 98 кбар. На рис. 20 длина стрелки, дающей понижение давления перехода для Fe_2SiO_4 , равна 100 кбарам.

Второй по значению минеральной системой после оливинов являются пироксены (Mg , Fe) SiO_3 . При нормальных условиях и низких температурах устойчивы ортопироксены, которые при повышении температуры переходят в клинопироксены, богатые Mg при ~ 1150 °C и богатые Fe при 1000 °C. В настоящее время изучена последовательность фазовых переходов в системе пироксенов в об-

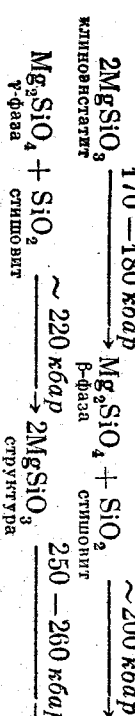
ласти уровней, показанных на рис. 21, может быть заполнен двумя электронами с противоположно направленными спинами. Из-за того, что большинство электронов заполняет t_{2g} -уровни, энергия соединения, содержащего ионы Fe^{+2} , Co^{+2} и Ni^{+2} в октаэдрических позициях, понижается.

ласти давлений до 300 кбар и температурах порядка 1000 °С. В особенности важные результаты были получе-

ны Лин-гун Лиу в 1975—1977 гг. в лаборатории Финну-да, а затем в Сейсмологической лаборатории Калифорнийского технологического института (Пасадена, США). Выше отмечалось, что при геодинамике поглощают звуки

ЧИСЛО СОСТАВОВ, КОДЫ ГЕОФИЗИКИ ПОБОЮЩИХСЯ ОДИЧИЕ ИМЕЮТ СОСТАВЫ СИЛИКАТОВ ВОЛНУ МАГНЕЗИАЛЬНОГО

край, так как в Ульяновских горных породах молекулярное отношение $\text{Fe}/(\text{Fe} + \text{Mg}) \sim 0,1$ достаточно мало. Далее, Рингвуд указывал, что в мантии пиролитового состава содержится заметное количество Al_2O_3 (см. табл. 3), и, следовательно, необходимо рассмотреть ходы в составах типа $\text{MgSiO}_3 \cdot (5-10)\% \text{Al}_2\text{O}_3$. Исследование MgSiO_3 выявило следующую цепочку фазовых переходов¹⁾:



2MgSiO_3 (структурой первоскита); в своих исследованиях Ллу не обнаружил ни перехода в структуру граната²), ни распада MgSiO_3 на изохимические

1) Ильменит — FeTiO_3 . Структура ильменита сходна со структурой корунда Al_2O_3 . В структуре корунда ионы кислорода образуют приближительно плотнейшую гексагональную упаковку. Ионы алюминия расположаются в октаэдрических позициях между гранями кубов.

лородными слоями. Структура ильменита получается из структуры корунда при замене атомов алюминия между двумя слоями кислорода на атомы железа и атомов алюминия, расположенных между следующими слоями кислорода, на атомы титана и т. д.

Люровский — Ca₁₀O₁₃. В структуре люровского, которого расположены ионы Ti расстояние в центре куба, в вершинах которого расположены двукальциевые ионы Ca, а центры граний заняты двумя валентными ионами кислорода. В этой структуре ионы Ca и Ti вместе образуют плотнейшую кубическую упаковку.

²⁾ Группа граната состоит из оптического числа минералов с общей формулой A₃B₂[SiO₄]₃, где A = (Mg, Fe, Mn, Ca)²⁺ и B = (Al, Mn, Fe, Cr)³⁺. Координационные числа катионов в структуре гранатов больше или равны 6, а их структура представляет собой деформированную кубическую плотнейшую упаковку кислородных ионов. Переход энстатита в гранат лается реакцией

$4\text{MgSiO}_3 \rightarrow \text{Mg}_3(\text{MgSi})[\text{SiO}_4]_3$,
при которой одна четвертая часть ионов кремния повышает свое координационное число с 4 до $\geqslant 6$.

сую смесь окислов:
 $MgSiO_3 \rightarrow MgO$ (структура каменной соли) +



Последнюю реакцию можно было бы ожидать как промежуточную между Ильменитовой и Перовскитовой фазами, исходя из того факта, что при каждом последующем фазовом превращении происходит возрастание плотности. Этот результат укрепил веру в то, что реакция распада на изохимическую смесь окисей не имеет места и приводит к полному переносу в стекло.

последовательности перехода в отечественных лабораториях показало, что фаза Mg_2SiO_4 , при давлении $\sim (220 - 240)$ кбар переходит в $MgSiO_3$ (структурой перовскита) + MgO , минуя какие-либо промежуточные реакции.

Эксперименты показали, что поведение системы $MgSiO_3$ и Al_2O_3 в давлении, равном $MgSiO_3 \cdot (5 \div 10) \% Al_2O_3$, отличается от поведения системы $MgSiO_3$ и Al_2O_3 в давлении, равном $MgSiO_3 \cdot (220 \div 240) \% Al_2O_3$. Оказалось, что добавка небольшой примеси Al_2O_3 (≥ 4 весовых процента) существенно меняет цепочку фазовых переходов по давлению. Система $MgSiO_3 \cdot (5 \div 10) \% Al_2O_3$ в интервале давлений от нескольких десятков килобар до $\sim (200 \div 220)$ кбар обнаруживает широкую двухфазную область, в которой сосуществуют ортопироксены и гранаты; фазовый переход граната в структуру ильменита происходит при давлениях ($220 \div 240$) кбар, и переход из структуры ильменита в структуру перовскита происходит при давлениях ($260 \div 280$) кбар.

6.3. ДИНАМИЧЕСКИЕ ИССЛЕДОВАНИЯ

Прогресс, который произошел в динамической физике высоких давлений после второй мировой войны, в основном обусловлен двумя обстоятельствами. Во-первых наметились достижения в технологии приготовления больших зарядов взрывчатых веществ. В результате в насторожнее время экспериментаторы располагают блоками взрывчатых веществ различной геометрии и размерами несколько десятков сантиметров, причем сами размеры выдерживаются с точностью до нескольких микрон. Во-вторых, были разработаны достаточно точные экспериментальные методы (электрические и оптические) регистра-

ции быстропротекающих процессов, характеристические времена которых составляют примерно $(0,1 \div 1)$ мсек ($1 \text{ мсек} = 10^{-6}$ сек).

Ударные волны, генерируемые сильными взрывами, при прохождении через твердые тела создают в них давление, достигающее несколько миллионов бар. Это существенно расширило диапазон давлений для экспериментального исследования свойств твердых тел. Важнейшим результатом этих работ явилось определение уравнений состояния многих металлов, ионных кристаллов, ряда жидкостей и горных пород до давлений в несколько миллионов бар. Уравнение состояния вещества, определяющее зависимость давления от объема и температуры, т. е. функция $p = p(V, T)$, является основным соотношением в области высоких давлений. По существу, оно определяет закон, по которому данное вещество сжимается. Важность в этом вопросе экспериментального подхода определяется тем, что для твердых тел получить эту зависимость теоретически в настоящее время не представляется возможным. Большой интерес эти исследования представляют для геофизики. Дело в том, что давление в центре нашей планеты примерно $3,5 \cdot 10^6$ бар и еще совсем недавно казалось совершенно недостижимым в лаборатории. Теперь же имеется возможность проводить количественные исследования в этой области давлений и тем самым проверять фундаментальные геофизические гипотезы о строении, составе и состоянии наименее изведанной области нашей планеты — ее ядра.

Так динамические исследования дали возможность установить уравнение состояния $p = p(V, T)$ для железа. Это позволило уже в 1960 г. произвести сравнение земного ядра, по которому скимается железо, с законом, по которому скимается вещество земного ядра. Оказалось, что свойства вещества земного ядра с точностью до $5 - 10\%$ соответствуют свойствам железа, определенным по динамическим данным. Это привело к тому, что гипотеза железного ядра Земли в настоящее время общепринята. До этого была довольно широко распространена гипотеза ядра из металлизированных силикатов. Она была выдвинута В. Н. Лодочниковым в 1939 г. и после войны получила развитие в работах Рамзес (гипотеза Лодочникова — Рамзеса). Суть гипотезы заключается в следующем. Известно, и мы об этом упоминали несколько раз, что с ростом давления почти все вещества испытывают фазовые переходы

со скачкообразным возрастанием плотности. На основании этой общей идеи была высказана гипотеза, что граница оболочки с ядром на глубине 2900 км является не химической границей, как это имеет место в гипотезе железного ядра, а фазовой, т. е. силикаты нижней оболочки на границе с ядром испытывают фазовый переход с примерно двукратным увеличением плотности. Кроме того, теория гидромагнитного динамо, о которой мы говорили выше, требует, чтобы вещество ядра обладало металлической проводимостью. Поэтому Рамзес предположил, что при фазовом переходе силикаты еще и металлизируются, т. е. переходят в металлическое состояние. Так возникла гипотеза ядра из металлизированных силикатов. В сороковые и начале пятидесятых годов гипотеза металлизированных силикатов представлялась совершенно неуязвимой в смысле ее экспериментальной проверки. Однако в этих опытах ударные давления достигали $5 \cdot 10^6$ бар, что заметно превышает давление на границе оболочки — ядро, равное $1,35 \cdot 10^6$ бар, и, несмотря на это, ни одна из испытанных горных пород не обнаружила перехода Лодочникова — Рамзеса. Несмотря на то, что в ударных волнах эксперимент длится доли микросекунд, есть все основания считать, что искомый переход был бы обнаружен, если бы он соответствовал действительности. Проверка гипотезы ядра из металлизированных силикатов явилась одной из ярких демонстраций мощи физических методов в геофизике. Использование динамических методов позволило изучить свойства важнейших минералов и горных пород при давлениях и температурах, характерных для слоя D (нижняя мантия). Эти исследования позволили приступить к определению детального состава слоя D. Вопрос этот оказался сложным. Дело в том, что в диапазоне давлений $100 - 300$ кбар все силикаты испытывают фазовые переходы. Эти фазовые переходы происходят и в ударных волнах и, по-видимому, замедленно поникают точность данных о свойствах фазы высокого давления. В настящее время динамические исследования геофизических материалов при высоких давлениях являются одним из важнейших направлений геофизического поиска.